维普资讯 http://www.cqvip.com

四、从我们的材料观察，所有尺动脉远侧掌深支和多数尺动脉近侧掌深支，均与桡动脉末端吻合，构成掌深弓，且二者管腔彼此连通。参照Liberse氏近年的观点，认为尺动脉掌深支十分细小，与桡动脉一般无功能性吻合，此点分歧之别，有待更多的材料来说明。

参 考 文 献

1. Coleman S S and Anson BJ. Arterial pattern in the hand based upon a study of 650 specimens. S G O 1961; 113: 409.

2. Libersa C L et al. Arterial supply to palm of the hand Anat Clin 1982;.4: 33.

3.郑靖中，等。国人手掌动脉弓，解剖学通报1983; 6(2): 100.

4.陈以慈，等。手部血管的观察。临床应用解剖学杂志1984; 2(1): 11.

5.余谟山，等。小指转位再造拇指的应用解剖。中华显微外科杂志1987; 10(1): 31.

Anatomical study of distal palmar profund ramus of ulnar artery

Yu Moshan, Luo Yongxiang
Tongji Medical university

The authors have dissected and observed the origin, track and closed organ of proximal and distal palmar profund rami of ulnar aruery in 118 corpse hands. The study demonstrates that distal palmar profund ramus of ulnar artery is more variable small artery in origin. The authors also measured the outside diameter of the root of the small artery and the length and so on of the artery. It provides a new anatomical data for hand surgical doctors.

(3)

5-7

前列腺位置的局部解剖学研究及其意义

天津武警医学专科学校解剖学教研室 单云官 姚 班 魏焕萍 陈金源
（天津市河东区，邮政编码300162）

R 322.64

[提要] 解剖观测男性成尸15具30侧，肛门前与阴囊根部之间中点定为会阴点，从该点至尿道球部下缘高23.5±12.4mm，尿道球部下缘至前列腺下缘高21.1±6.1mm，前列腺下缘至膀胱三角31.1±5.8mm，为海绵体和前列腺受压迫影响的中心线。

[关键词] 性功能下降，会阴点，前列腺。
[Key Words] hyposexuelity, perineum prostote.

前列腺的增生肥大[1]为多种原因所引起，本文就前列腺的位置与增生肥大的关系进行了研究，测量了前列腺的位置。为预防前列腺的增生提供了有关措施，以及摘除前列腺后的副作用，直肠前壁向前膨出，分析了有关解剖原因及预防的措施。

材料和方法

前列腺位置的解剖学观测，用经福尔马林常规固定的男性成尸15具，在正中矢状面切开为3侧，用游标卡尺测前列腺与会阴皮肤间的深距，在盆腔中央前后方的距离。并在标本上测试，从会阴部向上推挤压前列腺，观察影响前列腺的解剖学关系。抽样调查访问了长期远距离骑自行车的1000多人，了解长期远距离骑车后的不良反应。

观察结果

一、长期远距离骑自行车的不良反应

对长期远距离骑自行车者进行调查，访问1000多人，主要的不良反应是，会阴部及大腿内侧的皮肤被磨破，会阴部胀痛感，性欲功能下降等。另外，穿紧身厚布短裤骑自行，影响阴囊会阴部的散热，可致睾丸部位的温度超过35°C，或接近于体温。这样可使精子的生长发育活动受

维普资讯 http://www.cqvip.com

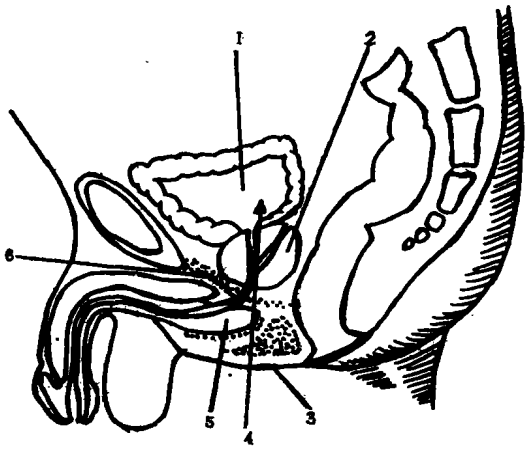
到影响［2］。

二、前列腺的解剖学观测

将盆部正中矢状面切开为30侧，观测前列腺的位置，测量其距会阴皮肤的深距，以及前后方的距离。

（一）位置　前列腺位于盆腔中央偏前部，膀胱的下方，尿生殖膈上方［3］。在前方前列腺距耻骨联合下缘较近，间距为11.4±3.7（均值±标准差）mm，并有较厚的结缔组织性结构连接。后方与尾骨间下端较近，间距为50.8±13.0 mm，为较疏松的结缔组织连接。下方为尿生殖膈，尿生殖膈的组织结构较盆膈的强厚，在矢状面上观，用手向上推挤软组织，前列腺的后部向上移动明显，原因除盆膈的组织结构较薄弱外，还有尾骨的活动度大，穿过盆膈的直肠为空腔性脏器，可变性较大。

（二）深距的测量　在肛门前缘与阴囊根部之间的中点定为会阴点，从该点向上经尿道球部，前列腺中部，至膀胱三角下角的中点，为会阴前列腺膀胱三角线。即前列腺受压的主要着力线，测量时将此线分为三段。1.会阴点皮肤至尿道球部下缘段高23.5±12.4 mm，尿道海绵体在会阴部皮下，骑车时首先被车座压迫，长时间的压迫海绵体。对海绵的充血阴茎的勃起可能有影响。2.尿道球部下缘与前列腺下缘段高21.1±6.1 mm。上述二项为从皮肤至前列腺下缘的深距。



1.膀胱　2.前列腺　3.会阴部皮肤　4.会阴前列腺受压线　5.尿道海绵体　6.尿生殖膈

附图　男盆腔正中矢状切面前列腺受压方向

3.前列腺下缘经其中点至膀胱三角下角中点段，高31.1±5.8 mm。全线长75.6±16.7 mm。

讨　论

一、前列腺与自行车座的关系

骑自行车时臀、会阴部在自行车座上有三处着力点，主要是后方两侧的坐骨结节，其次是前方的耻骨下支下缘。一部分自行车座后部左右侧的最大间距稍窄，且中线部位略高起，尿道海绵体在会阴部皮下稍高起。高起的会阴部正对车座中间略高起的部位，使会阴部受压。首先受压的是23.5 mm深的尿道海绵体，尿道海绵体在耻骨下支、耻骨联合下方段均可被压迫。可能影响到阴茎海绵体的充血勃起，前列腺的受压过程主要是通过“会阴前列腺膀胱三角线”为中心向上挤压，由于会阴点从皮肤至前列腺下缘深距仅为44.6 mm，常期受压后可致盆底肌和结缔组织和结缔组织松弛，间接压迫前列腺。

二、预防前列腺受压的措施

（一）在自行车座上加垫厚海绵座套：自行车座上加厚海绵座套，以缓冲车座对尿道海绵体和前列腺的压迫刺激。

（二）自行车座的高度不宜超过车把：在骑自行车时躯干不宜过度前倾，前倾的角度越大前列腺受压迫的程度越严重。躯干与大腿间夹角宜在85.0～135.0度，至少要在80.0度以上。除骑自行车比赛的特殊情况外，骑车时一般要求躯干稍直立能减轻车座对前列腺的压迫刺激。

三、直肠前壁向前膨出的解剖学因素：前列腺为实质性器官，直肠前壁向前膨出，多在前列腺摘除术后，直肠前方成为一个空缺的腔隙。当直肠内存有大便并增加腹压，长期的压迫使前壁松弛，直肠的前壁将朝空缺的部位扩展膨出。为预防前壁膨出，可采用加固直肠前壁法，将盆膈上筋膜加固在直肠的前壁，4～6条缝合线，横行经直肠的前壁，两侧固定于肛提肌上。

参考文献

1.罗道春，等. 良性前列腺增生症发病机理研究进展，中华骨科杂志；1991；1：57。

2.王信心，等. 温度对体外精子活动的影响。男性学杂志；1991；1：24。

3.河北新医大学《人体解剖学》编写组。人

维普资讯 http://www.cqvip.com

体解剖学，第1版，北京：人民卫生出版社 1976：800～803。

ANATOMICAL STUDY OF PROSTATIC POSTION AND ITS IMPLICATIONS

SHAN Yun-Guan, YAO Ban, WEI Huan-Ping, LIU Wen-Biao, CHEN Jin-Yuan

Anatomy Teaching and Research Section, Chinese people's Armed-Police Forces Medical Academy Tianjin 300162, China

1000 men who traveled a long way by bicycle for long time have been investigated. Hyposexuality and high morbidity of senile prostatomegaly were revealed. 15 male adult cadavers, 30 laterals, were dissected. The middle point lies between the anterior margin of anus and the root of penis was named perineum point, the distance between this point and the inferior margin of bulbus urethrae is 23.5±12.4mm ($\bar{X}$+SD), between the inferior margin of bulbus urethrae and the inferior margin of prostate is 21.1±6.1mm, between the inferior margi of prostate and vesical trigone is 31.1±5.8mm, the grand total is 75.9±16.7mm high. This is the line which being oppressed of corpus cavernosums and prostate while go by bicycle.

KEY WORDS hyposexuality; perineum point; prostate.

(4)

7-9

大腿上端动脉的解剖学变异研究

浙江医科大学杭州分校解剖学教研室 **田菊霞** **柴东乔**

（浙江杭州，邮政编码310012）

R323.72

〔**提要**〕本文通过检测和统计48例大腿上端尸体动脉的局解所示，发现股动脉起点位于腹股沟韧带中点偏内1～1.2cm者占66.7%，在临床应用中应以棘——联合径中点作为股动脉的体表标志则差误较小；股深动脉起点的位置有四种不同类型，其距腹股沟韧带中点平均为40.63mm；此外，旋股内、外侧动脉，穿动脉均有不同程度的差异，而以旋股外侧动脉为甚。在临床血管外科应用中值得重视。

〔**关键词**〕大腿；动脉；解剖学；变异。

动脉的解剖学变异涉及到手术、穿刺、插管等临床实践。为此，我们对股深动脉的分支与延伸分布中的变异作了检测，并按解剖学方法予以分类。分述于下。

材料与方法

取成年人尸体24具，其中男性21具，女性3具，双侧均检测，共48例标本。以腹股沟韧带中点为检测定点。按层次解剖法切开皮肤后，清理皮下组织并逐层分离保持动脉的完整性。此后，用游标卡尺、双脚规等进行各项测定，予以记录。

检测结果

一、股深动脉

在48例中股深动脉起点距腹股沟韧带中点平均40.63mm（24.5～71mm），而87.2%在腹股沟韧带中点30～69mm之间发出，外径3.8～10mm，平均5.3mm，而72%起于腹股沟韧带中点30～60mm之间，起点在股动脉后外侧壁者有10例占41.7%；在股动脉外侧壁者8例占33.3%；在后壁4例占16.6%；在后内侧壁者2例占8.4%，在我们的调查标本中没有发现从内侧壁或前壁发出的。股动脉起始部外径在7.8～15.4mm，平均11.78mm±2.98mm，见图1。